

А. С. ДАНИЕВ, В. Н. ПРОКОФЬЕВ

(Ленинград)

... задачи обнаружения, пространственно-временной областях нередко на практике. Таковыми являются многие прикладные задачи радио-, гидролокации, оптической локации, радиоастрономии (например, анализ «сканов»), обработки астрофизических данных и другие.

При этом обычно параметры сигнала и шума априорно неизвестны и меняются как по частотной (пространственной) координате, так и во времени; кроме того, может изменяться «местоположение» сигнала в анализируемой области и сигнал образует в ней «траекторию» (в общем случае не обязательно одну). Задача заключается в обнаружении и указании местоположения такой «сигнальной траектории» в условиях нестационарности и неопределенности сигнала и шума.

Ниже задача формулируется и решается применительно к частотно-временной области (анализ спектров в гидроакустике; доплеровская расфилтровка в радиолокации); с соответствующими уточнениями она охватывает также анализ в пространственно-временной зоне (задачи радиоастрономии, оптической локации и связи). Указываются пригодные для реализации в автоматизированных устройствах инвариантные [1—3] решающие алгоритмы обнаружения на базе оценок спектра мощности наблюдаемых процессов, взятых в заданном частотном диапазоне в дискретные моменты времени.

Уточним исходные предпосылки.

1. Задан анализируемый частотный диапазон, образованный совокупностью элементарных частотных интервалов.

2. Спектр шумов неизвестен (по форме и уровню), но меняется плавно по частотному диапазону, так что его уровень одинаков для пары смежных частотных интервалов. Предполагается попарное наблюдение оценок энергетического спектра, дающее r независимых пар оценок в диапазоне.

3. Сигнал может присутствовать во втором частотном интервале какой-либо пары и характеризуется возрастанием уровня (мощности) спектра в нем по сравнению с уровнем спектра «шумового» интервала. Уровни (мощности) шума и сигнала априорно неизвестны и в общем случае различны для всех r пар интервалов в полосе анализа.

4. Неизвестные местоположение сигнала по частоте, уровни сигнала и шума выдерживаются неизменными в течение «слоя стационарности», включающего n временных моментов взятия оценок спектра. По истечении времени, включающего эти n моментов, местоположение сигнала, уровни шума и сигнала могут измениться и снова сохраняются в течение следующего «слоя». Анализ включает по времени p «слоев стационарности».

5. Данные наблюдений — это независимая совокупность $(x, y) = \{(x_{ijk}, y_{ijk}), i = \overline{1, r}; j = \overline{1, n}; k = \overline{1, p}\}$ парных оценок спектра (x_{ijk}, y_{ijk}) в i -й паре в j -й момент времени в k -м слое. Пусть каждая оценка имеет показательное (типа χ^2 с двумя степенями свободы) распределение с параметром σ_{ih} для шума и $\tau_{ih} = \sigma_{ih} + \nu_{ih} = \sigma_{ih}(1 + q_{ih})$ при сигнале, $j = \overline{1, n}$; $q_{ih} = \nu_{ih}/\sigma_{ih}$ — отношение С/Ш в i -й паре k -го «слоя» (ν_{ih} — соответствующая мощность сигнала). Значения σ_{ih} , ν_{ih} , $i = \overline{1, r}$; $k = \overline{1, p}$, априорно неизвестны.

Инвариантные решающие алгоритмы. Задача заключается в обнаружении и указании «сигнальной траектории», т. е. указании набора из p номеров $(i_k, k = \overline{1, p})$ сигнальных пар частотных интервалов в анализируемых слоях. Такая задача сводится к проверке многих (по числу возможных траекторий) альтернатив, включающих гипотезу об отсутствии сигнала.

Условное распределение данных для траектории с набором $J = \overline{(i_k, k = \overline{1, p})}$

$$p_J(x, y) = \prod_{k=1}^p p_{i_k}(x_k, y_k), \quad (1)$$

где $p_{i_k}(\cdot, \cdot)$ — распределение данных k -го слоя $(x_k, y_k) = \{(x_{ijk}, y_{ijk}), i = \overline{1, r}; j = \overline{1, n}\}$ при условии, что в k -м слое сигнал содержится в i_k -й паре; в соответствии с предпосылкой 5 последнее распределение есть

$$p_{i_k}(x_k, y_k) = \sigma_{i_k}^{-2n} (1 + q_{i_k})^{-n} \exp \left[-\frac{X_{i_k}}{\sigma_{i_k}} - \frac{Y_{i_k}}{\sigma_{i_k}(1 + q_{i_k})} \right] \times \\ \times \prod_{l \neq i_k}^r \sigma_{l_k}^{-2n} \exp \left(-\frac{X_{l_k} + Y_{l_k}}{\sigma_{l_k}} \right). \quad (2)$$

Здесь $X_{i_k} = \sum_{j=1}^n x_{ijk}$; $Y_{i_k} = \sum_{j=1}^n y_{ijk}$.

В отсутствие сигнала распределение наблюдений $p_0(x, y)$ получается из (1), (2) при всех $q_{i_k} = 0$.

Задача обнаружения траектории заключается в проверке на базе семейств распределений (1) и $p_0(x, y)$ следующих статистических гипотез:

$$H_0: p_0(x, y); H_J: p_J(x, y); J \in I, \quad (3)$$

причем параметры σ_{i_k} распределений неизвестны и выступают как мешающие масштабные параметры, $i = \overline{1, r}$; $k = \overline{1, p}$; $I = \{J = (i_1, \dots, i_p)\}$ — все множество индексов (номеров сигнальных частотных пар, соответствующих возможным траекториям).

Решающее правило проверки гипотез (3) следует искать среди инвариантных к масштабу наблюдений в каждой i -й паре интервалов каждого k -го слоя, $i = \overline{1, r}$; $k = \overline{1, p}$. Класс таких правил удобно описывается распределениями данных, найденных для подполя тех событий в пространстве значений (x, y) , которые инвариантны к указанным масштабным изменениям [2]. Методика соответствующих вычислений предписывает здесь найти функции (плотности на подполе инвариантных событий)

$$w_J(x, y) = \prod_{k=1}^p w_{i_k}(x_k, y_k) = \prod_{k=1}^p \frac{\bar{p}_{i_k}(x_k, y_k)}{\bar{p}_0(x_k, y_k)},$$

где $\bar{p}_{i_k}(x_k, y_k) = \int_0^\infty \lambda^{2n-1} p_{i_k}(\lambda x_k, \lambda y_k) d\lambda$, а $\bar{p}_0(x_k, y_k)$ находится аналогично при $q_{i_k} = 0$; здесь запись $\lambda x_k, \lambda y_k$ означает умножение координат векторов x_k, y_k на общее число $\lambda > 0$.

Выполнив указанные вычисления, находим

$$w_J(x, y) = \prod_{k=1}^p (1 + q_{i_k})^{-n} (1 + Z_{i_k})^{2n} / (1 + a_{i_k} Z_{i_k})^{2n}, \quad (4)$$

где $Z_{i_k} = Y_{i_k}/X_{i_k}$; $a_{i_k} = (1 + q_{i_k})^{-1}$.

Согласно теории решений, оптимальное инвариантное правило проверки гипотез (3) на базе функций (4), которое при фиксированной вероятности ложной тревоги максимизирует вероятность правильного ре-

шения, выбирает траекторию (альтернативу) с набором индексов $J^* = (i_k, k = \overline{1, p})$ либо гипотезу H_0 об отсутствии сигнала, если соответственно

$$w_{J^*}(x, y) = \max_{J \in I} w_J(x, y) > C \text{ либо все } w_J(x, y) \leq C, J \in I, \quad (5)$$

где C — пороговый уровень.

Будучи инвариантным к масштабу наблюдений, оптимальное правило (5) выражается через отношения $Z_{ik} = Y_{ik}/X_{ik}$, распределение которых не зависит от уровней шума σ_{ik} . Поэтому порог C алгоритма не зависит от мешающих параметров, а вероятность α ложных тревог неизменна при любых значениях σ_{ik} .

Для практической реализации желательно правило, не содержащее также параметров q_{ik} . Такой субоптимальный инвариантный алгоритм можно получить из (5), например, при всех $q_{ik} = q \ll 1$ (слабый сигнал); он имеет форму (5), но вместо функций $w_J(x, y)$ следует использовать статистику вида $\sum_{k=1}^p Z_{ik}/(1 + Z_{ik})$. При сильном сигнале (все $q_{ik} = q \gg$

$\gg 1$) надлежит использовать аналогично статистики вида $\sum_{k=1}^p \ln(1 + Z_{ik})$.

Эти субоптимальные инвариантные алгоритмы могут быть рекомендованы для автоматизированных устройств.

Еще более удобным для реализации вследствие своей простоты является инвариантный алгоритм вида

$$\begin{aligned} &\text{принять } H_{J^*}, \text{ если } \sum_{k=1}^p Z_{i^*k} = \max_{(I)} \sum_{k=1}^p Z_{ik} > C; \\ &\text{принять } H_0, \text{ если все } \sum_{k=1}^p Z_{ik} \leq C, J = (i_k, k = \overline{1, p}) \in I, \end{aligned} \quad (6)$$

который также может быть рекомендован для практического использования.

Важным частным случаем рассмотренной задачи является обнаружение сигнала с неизменным за время анализа частотным (пространственным) положением — обнаружение «прямых» траекторий. При этом множество I содержит всего r возможных траекторий и упрощенный алгоритм (6) принимает решение о сигнале в i^* -й частотной паре (H_{i^*}) либо об отсутствии сигнала, если соответственно

$$\sum_{k=1}^p Z_{i^*k} = \max_{(i=\overline{1, r})} \sum_{k=1}^p Z_{ik} > C \text{ либо все } \sum_{k=1}^p Z_{ik} \leq C, i = \overline{1, r}. \quad (7)$$

Как видно, все r тестовых статистик $t_i = \sum_{k=1}^p Z_{ik}$ правила (7) статистически независимы; это облегчает отыскание порога C и эффективности алгоритма. Используя центральное F -распределение [1, 4] статистик Z_{ik} (с $2n, 2n$ степенями свободы) и нормальную аппроксимацию распределений статистик t_i , можно оценить порог C и вероятность правильных решений $P_{\text{пр}}$ алгоритма (7) в виде

$$\begin{aligned} C &\sim [\sqrt{pn(2n-1)/(n-2)}u + pn]/(n-1), \quad n > 2; \\ P_{\text{пр}} &\sim 1 - (1 - \alpha)^{1-1/r} \Phi \left[\frac{u - q \sqrt{pn(n-2)/(2n-1)}}{1+q} \right], \end{aligned} \quad (8)$$

где $\Phi(\cdot)$ — функция распределения стандартного нормального закона; u — квантиль нормального закона, соответствующий вероятности $(1 - \alpha)^{1/r}$.

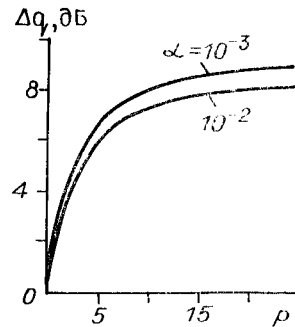
Расчеты эффективности более общего алгоритма (6) могут основываться на моделировании (тестовые статистики в (6) зависимы); однако

для ориентировочных оценок можно применить формулы (8), где вместо числа r следует использовать число m возможных альтернатив.

На рисунке приведена полученная с помощью указанной методики зависимость (от числа p «слоев стационарности») выигрыша Δq в пороговом отношении С/Ш по сравнению со случаем $p = 1$ при $P_{np} = 0,9$; $\alpha = 10^{-2}$ и 10^{-3} ; $n = 15$; $r = 128$. Число $m = r$ при $p = 1$; при $p > 1$ это число определялось соотношением $m \sim r3^{p-1}$, которое примерно характеризует возможное количество траекторий при условии, что сигнал может либо сохранить свое частотное местоположение, либо сместиться в соседний (справа или слева) интервал в каждом очередном «слое стационарности».

На рисунке показано существенное увеличение эффективности обнаружения при использовании «траекторного анализа». Несмотря на резкое увеличение числа m возможных траекторий с увеличением их «длины» (т. е. числа p), результирующая эффективность решения быстро возрастает с ростом p .

В заключение отметим, что алгоритм обнаружения «сигнальных траекторий» может быть получен и при других моделях распределения исходных данных, а также в случае предварительного бинарного квантования данных, формирующего «единицы» и «нули» в каждой анализируемой паре частотного (пространственного и т. п.) диапазона каждого слоя стационарности. Такое предварительное квантование может существенно облегчить практическую реализацию решающего алгоритма, а также получение решения непараметрической задачи — при неизвестных распределениях исходных данных.



ЛИТЕРАТУРА

1. Леман Э. Проверка статистических гипотез.— М.: Наука, 1964.
2. Гаек Я., Шидак З. Теория ранговых критериев.— М.: Наука, 1971.
3. Горохов В. Л., Прокофьев В. И. Устойчивые алгоритмы обнаружения сигналов для систем первичной обработки данных больших телескопов // Автоматрия.— 1982.— № 6.
4. Большев Л. Н., Смирнов Н. В. Таблицы математической статистики.— М.: Наука, 1983.

Поступила в редакцию 25 февраля 1985 г.

УДК 621.397.2 : 519.685

И. М. БОКШТЕЙН

(Москва)

ИСПОЛЬЗОВАНИЕ МЕТОДА ПРЕОБРАЗОВАНИЯ КОМПОНЕНТ ДЛЯ СОКРАЩЕНИЯ ИЗБЫТОЧНОСТИ ЦВЕТНЫХ ИЗОБРАЖЕНИЙ

Преобразование компонент с интерполяцией по отсчетам [4] представляет собой эффективный метод сжатия описаний многоградационных изображений с целью их передачи по узкополосному каналу связи или хранения в ЗУ малого объема. Применение этого метода позволяет снизить затраты на хранение или передачу таких изображений до 1,5 бит/отсчет при высоком визуальном качестве и малой среднеквадратичной погрешности восстановления.

Процедура кодирования и восстановления полутонного изображения методом преобразования компонент с интерполяцией по отсчетам подробно описана в [1, 8]. В наиболее эффективном варианте метода —